



دراسة وحساب طيف الاشعة تحت الحمراء لجزئية الكومارين $C_{14}H_{12}NO_2F_3$

بواسطة البرامج الشبة التجريبية

عبد الحكيم شكور محمد¹, عواطف صابر جاسم², مخلص عبد الفتاح ابراهيم³

¹قسم الفيزياء، كلية التربية للعلوم الصرفة، جامعة كركوك، كركوك، العراق.

^{2,3}قسم الفيزياء، كلية العلوم، جامعة تكريت، تكريت، العراق.

¹hakimsh2002@yahoo.com, ²awatif.jasim@yahoo.com, ³muklisalgoobory@gmail.com

الملخص

في هذا البحث تمت دراسة ترددات الاهتزاز وطاقة الجهد في الجزيئة اللاخطية (C_{522}) وذلك باستخدام البرامج النظرية شبة التجريبية وبطريقة (MNDO-PM3) وتم حساب الشكل الهندسي الفراغي للجزئية من المصفوفة الابتدائية والنهائية والتي تحتوي على اطوال الاواصر وعلى الزوايا بين الاواصر وزوايا السطوح وشحنة كل ذرة في الجزيئه ومن خلال منحني طاقة الجهد للجزئية واعتماداً على تغير طول الاصرة بين ($C_{13}-N_{12}$) ($C_{15}-F_{18}$) (C_2-O_3) ($C_{15}-C_6$) ($C_{14}-H_{29}$) ($C_2=O_{23}$) ($C_6=C_1$) في الجزيئة مقابل ما يتم الحصول عليه من قيم الطاقة ومنه تم حساب الطاقة الكلية للجزئية عند الوضع التوازنى وكانت للأواصر هي (3915.1017eV) عند مسافة التوازن لكل اصرة (1.53A°) للجزئية على التوالي ومن منحني طاقة الجهد تم حساب طاقات التفكك لكل اصرة وكانت (2.45383 eV) و (5.69258 eV) و (5.90739 eV) و (4.41122 eV) و (4.41981 eV) و (7.56607 eV) و (7.5.41981 eV) على التوالي، بالإضافة الى ذلك تم حساب القيم الطاقية للمدارات الجزيئية بما فيها على مدار جزيئي مشغول بالإلكترونات (E_{HOMO}) واوطي مدار جزيئي غير مشغول بالإلكترونات (E_{LUMO}) وحسبت فجوة الطاقة للجزئية (E_{gap}) وكانت تساوي 7.38 eV، كذلك تم حساب الترددات الاهتزازية للجزئية عند وضع التوازن وانماط الاهتزاز الاساسية وكانت تساوي 90 نمط اهتزازي.

الكلمات الدالة: جزيئة اللاخطية، C_{522} البرامج شبة التجريبية، فجوة الطاقة (E_{gap}).

DOI: <http://doi.org/10.32894/kujss.2019.14.2.13>

Study and Calculation of the IR Spectrum for Molecule coumarin $C_{14}H_{12}NO_2F_3$ by Semi-Empirical Programs

Abdul Hakim Mohammed¹, Awatif Jasem², Muklis Abrahem³

¹Department of Physics, College of Education for Pure Science, University of Kirkuk, Kirkuk, Iraq.

^{2,3} Department of Physics, College of Science, University of Tikrit, Tikrit, Iraq.

¹hakimsh2002@yahoo.com, ²awatif.jasim@yahoo.com, ³muklisalgoboory@gmail.com

Abstract

This work aims to study potential energy and vibrational frequencies of a non-linear molecule (C_{522}) using semi-experimental and MNDO-PM3 method, the geometric space shape for molecule was calculated through the initial and final matrix which includes the bonds lengths and the angle between bonds, surface angles and the charge of each atom in the molecules and from the curve of potential energy for molecule and depending on the change of the bond length (C_{15} — C_6) (C_2 — O_3) (C_{15} — F_{18}) (C_{13} — N_{12}) (C_{14} — H_{29}) (C_6 — C_1) (C_2 — O_{23}) of the molecules versus the energy values obtained, and the total energy for molecules at equilibrium state was (-3915.10178 eV) and at equilibrium distance for each bond (1.53 Å), (1.37 Å), (1.35 Å), (1.48 Å), (1.10 Å), (1.34 Å) and (1.21 Å) respectively and from the potential energy curve, the dissociation energies were calculated for each bond are (5.69258 eV), (2.45383 eV), (5.90738 eV), (4.41122 eV), (7.53398 eV), (7.56607 eV) and (8.41981 eV) respectively. In addition, the energy values of the molecular orbitals are calculated including highest occupied molecular orbital (E_{HOMO}), lowest unoccupied molecular orbital (E_{LUMO}) and the energy gap for molecular (E_{gap}) was equal to (7.38 eV). The vibrational frequencies of the molecule were also calculated when the vibrational frequencies for molecule at equilibrium state of vibration and the basic vibration modes were equal to 90 vibration mode.

Keywords: Non-line molecule(C_{522}), Semi-empirical programs, energy gap(E_{gap}).



1. المقدمة:

منذ اختراع الليزر عام 1960 ودخوله في مجال التطبيقات الحديثة تزايدت الحاجة إلى المزيد من الدراسات التي تهدف إلى تحسين كفاءة الأداء و الحصول على ليزرات بأطوال موجية مختلفة. آن الشعاع المنبعث من معظم الصبغات العضوية أدى إلى استخدامها كأوساط فعالة في ليزرات الصبغة، لذلك يعد ليزر الصبغة من الليزرات المثالية في الدراسات الطيفية نظراً لما يمتلكه هذا النوع من الليزرات من مدى طيفي واسع وكفاءة تحويلية جيدة تمثل المركبات الثنائية الحلقة (Bicyclic Compounds). اغلبية هذا النوع من المركبات مشتقات الكومارين (الثنائية الحلقة) تتميز بأهمية وفائدة عملية كبيرة في المنطقة الزرقاء- الخضراء من الطيف [1]. تم استخدام صبغة الكومارين C_{522} ذات الكفاءة العالية كوسط فعال للحصول على ليزر نبضي ذو زمن نبضة (5-4) بيكر ثانية وقدرة حوالي (4MW) وذلك باستخدام المصباح الوميضي كمصدر للضوء. ويستخدم الكومارين في حقل الاتصالات تحت سطح الماء (Under water) وفي فصل النظائر يبلغ الوزن الجزيئي للكومارين 283,25 ويتذبذب في المنطقة الخضراء الزرقاء من الطيف بمدى (400-500nm) [2].

لقد قامت الباحثة رجاء قادر الياسري بدراسة طيفية لبعض الجزيئات (الكومارين والاميلفيرين والكومارين 222) باستخدام برنامج (Gaussian09) وبطريقة (DFT) وباستخدام نموذج الدالة (Lee-Yang-Parr) مع عنصر القاعدة (6-31G) ان قيم LUMO و HOMO وفجوة الطاقة ينقصان بينما قيم عزم ثنائي القطب تزداد وأن القيم العالية لعزم ثنائي القطب تشار إلى تفاعلية أعلى لقبول الكترون وتمتلك الجزيئه نفس التماثل واستنتجت أيضاً تزداد الانماط الاهتزازية عند ابدال OH و CF3 و N مكان الهيدروجين [3].

تعتبر الخصائص الطيفية من الخصائص المهمة لأنها تعطي وصفاً كاملاً لتركيب الجزيئه ومستويات الطاقة فيها وكثير من المعلومات الأخرى، ان كل جزيئه تمتلك ثلاثة انتقالات طيفية رئيسية هي الانتقالات الالكترونية التي تقع تردداتها في المنطقة المرئية وفوق البنفسجية والانتقالات الاهتزازية والتي تقع تردداتها في المنطقة تحت الحمراء القريبة والمتوسطة والانتقالات الدورانية والتي تقع تردداتها في المنطقة تحت الحمراء البعيدة وال WAVES المايكروية وبما ان الجزيئات

في حالة حركة اهتزازية دائمة حتى عند درجة حرارة الصفر المطلق لذلك تعتبر دراسة الانتقالات الاهتزازية للجزئية مصدرا

جيدا للمعلومات حول تركيب الجزيئة [4].

الهدف من البحث هو دراسة الخواص الطيفية لجزئية الكومارين C_{522} وذلك باستخدام الحسابات النظرية شبة التجريبية حيث استخدمت طريقة MNDO-PM3 لدراسة التركيب الجزيئي للجزئية في منطقة الاشعة تحت الحمراء باستخدام برنامج WinMopac7.21 وهو برنامج شبة تجاري للمدارات الجزيئية (Semi-empirical Molecular Program) وتم حساب مستويات الطاقة الجزيئية الأرضية (ground state)، وكذلك حساب ودراسة عدد الانماط الاهتزازية الأساسية لجزئية الكومارين C_{522} ويتم تمثيل هذه الانماط على شكل رسومات من خلال برنامج Hyperchem8.0 مع اعطاء شدة وتماثل كل نمط من هذه الانماط.

2. الجزء النظري:

الجزئية هي تركيب مستقر لذرتين أو أكثر مربوطة بعضها مع بعض بقوة كافية حيث تظهر عمليا بوصفها جسيما واحدا. فإذا كانت طاقة النظام أقل من مجموعة طاقات الذرات المكونة لها فإن الجزيئة تكون فإذا حصل زيادة في الطاقة بطريقة ما فإن الذرات تتنافر بعضها عن بعض. والطاقة الكلية للجزئية عبارة عن مجموعة من الطاقات كما في المعادلة.

[4]

$$E_{\text{total}} = E_{\text{Rot.}} + E_{\text{vib.}} + E_{\text{ele.}} \quad (1)$$

حيث أن $E_{\text{Rot.}}$ تمثل طاقة الدوران (أو الاستدارة)، $E_{\text{vib.}}$ طاقة الاهتزاز، $E_{\text{ele.}}$ يمثل الطاقة الالكترونية ان محور اهتمامنا في هذا البحث هو الطاقة الاهتزازية التي تمثل طاقة الجهد و الطاقة الحركية التي تمتلكها الجزيئات بسبب حركتها حيث تكون هذه الطاقة مكممه.

ان اهتزاز الجزيئية يكون تحت تأثير الاصارة من ناحية التمدد والتقلص و الذي يشبه الى حد كبير سلوك النابض الذي يخضع ل قانون هوك (Hooks law) ولذلك يدعى هذا بنموذج المتذبذب التوافقى البسيط Simple Harmonic Oscillator حيث يعد هذا النموذج نموذجا تقريريا ويمكن رسم العلاقة بين طاقة الجهد للاهتزاز وبين المسافة البينية حسب العلاقة التالية:

$$V(r)=\frac{1}{2}k(r-r_e)^2 \quad (2)$$

حيث يمثل $V(r)$ طاقة الجهد k تمثل ثابت القوة، r الازاحة r المسافة الاتزان (طول الاصرة عند الاستقرار) ان ابسط الجزيئات هي الجزيئات ثنائية الذرة والتي تتكون من ذرتين تربط بينهما اصرة كيميائية وتمهتان على طول المحور بين النواتين و يمكن ان تخيل ان كتل النواتين m_A و m_B على التوالي والاصرة بينهما تمثل نابض حلزوني عديم الكتلة تهتزان تواافقيا نسبة الى مركز الكتلة [5] ووفقا لقانون هوك فأن القوة المعيدة فيها تصبح.

$$f = -kx \quad (3)$$

حيث ان x الازاحة عن مركز الكتلة، ان كلا الكتلتين يمكن ان تتنقلان معا كتلة واحدة فعالة (effective mass) ويرمز لها بالرمز (μ)

$$\mu = \frac{m_A m_B}{m_A + m_B} \quad (4)$$

حيث ان μ هي الكتلة المختزلة

أن التردد الكلاسيكي للحركة التواافقية هو:

$$\nu_{vib} = \frac{1}{2\pi} \sqrt{\frac{k}{\mu}} \quad (5)$$

وهذا يعني أن الاهتزاز في الجزيئ الثنائي الذرة يمكن اعتبارها جسم واحد له كتلة μ ويتنبأ بتأثير ثابت القوة k . ووفقا لميكانيك الكم فأن معادلة شرودينكر لهذه الحالة تأخذ الشكل التالي:

$$\left[-\frac{\hbar^2}{2\mu} \nabla^2 + \frac{1}{2} k(r - r_e)^2 \right] \Psi = E\Psi \quad (6)$$

ولما كانت الحركة باتجاه واحد فأن معادلة (6) تصبح:

$$-\frac{\hbar^2}{2\mu} \frac{d^2\Psi}{dx^2} + \frac{1}{2} kx^2\Psi = E\Psi \quad (7)$$

لذلك فأن الطاقة الكلية الاهتزازية للجزيئ تأخذ المقادير المكماة التالية :

$$E_{vib} = (v + \frac{1}{2})h\nu_{vib} \quad v = (0, 1, 2) \quad (1)$$

حيث ان ν_{vib} تمثل التردد الكلاسيكي في المعادلة (5)، v يمثل عدد الكم الاهتزازي. والطاقة في المعادلة اعلاه تمثل الطاقات المسموحة في النظام الذي يتحرك حركة تواقيبة بسيطة وان قيمة اصغر طاقة هي $\frac{1}{2}h\nu_{vib}$ عندما تكون $v=0$ وتدعى بالطاقة عند نقطة الصفر Zero point energy وهذه القيمة تمثل الفرق بين الميكانيك الكمي والكلاسيكي للاهتزازات الجزيئية. فالطاقة في الميكانيك الكلاسيكي يمكن ان تساوي صفر وهذا يعني عدم امتلاك طاقة اهتزازية في الظروف الاعتيادية. بينما ميكانيك الكم يؤكد أن الجزيئة لابد أن تعاني اهتزازا معينا [6].

3. الحسابات:

للحصول على نتائج قريبة نسبيا من النتائج العملية وبشكل سريع تم استخدام البرامج الشبة التجريبية والتي تستغرق فترة زمنية قصيرة للدورات الحسابية ومن هذه الطرائق المتقدمة الشبة التجريبية التي استخدمت في البحث هي طريقة (Modified Neglect of Differential Overlap-Parameterization model3) (MNDO-PM3) وهي تعني (MNDO-PM3) لذا فان طريقة (MNDO-PM3) المحسوبة ضمن البرنامج جعلت هناك تقارب كبير بين نتائج هذه الطريقة وبين القيم العملية المقاسة تجريبيا وهذا التقارب كان المحفز في استخدام هذه الطريقة [7]. ان هذه البرامج تتنمي الى برمجيات النمذجة الجزيئية وهي برمج HyperChem8.0, WinMopac7.21

:(HyperChem8.0) 3.1

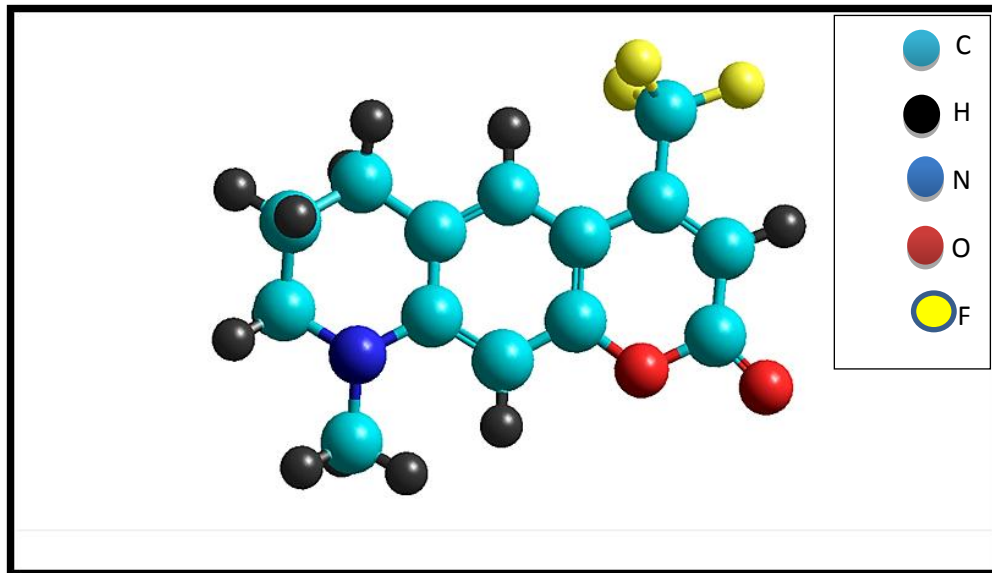
يحتوي برنامج Hyperchem على جميع برمجيات النمذجة الجزيئية بما فيها طريقة DFT و Ab-intio بالإضافة الى الطرائق شبة التجريبية المختلفة وكذلك الطرائق التي تعتمد على الميكانيك الجزيئي حيث بعد هذا البرنامج من البرامج المتقدمة في مجال النمذجة الجزيئية. يعتمد هذا البرنامج على طرائق النمذجة الجزيئية التي تعتمد على مبادئ الميكانيك الجزيئي (MM) حيث استخدم دوال تحليله بسيطة $f(r, \theta, \Phi)$ حيث r تمثل طول الاصرة و θ تمثل الزاوية المحصورة بين ثلات ذرات في الجزيئة و Φ تمثل زاوية السطوح (الزاوية المحصورة بين مستويين) للحصول على افضل شكل هندسي متوازن للجزئية ليكون مصفوفة تحتوي على الاحاديث الداخلية للوضعية التي تتم بموجبة تكون الجزيئة هندسيا، حيث تعد هذه المصفوفة مدخلا الى برنامج [8,9] WinMopac7.21

ان برنامج WinMopac7.21 هو احد تطويرات برنامج Mopac الذي هو برنامج عام شبة تجريبى يحتوى على الطرائق شبة التجريبية مثل AM1,MINDO/3,PM3 تستخدم هذه الطرائق في الجزء الالكترونى من الحسابات لحساب وتوضيح المدارات الجزيئية وحرارة التكوين مع الاخذ بنظر الاعتبار الهندسة الجزيئية وكذلك يتم حساب طيف الاهتزاز وثوابت القوى للجزيئات والخواص термодинамическая، اذ تم رسم منحني طاقة الجهد للجزيئ عن طريق تغير طول الاصرة بين $(C_6=C_1)$ (C_15-C_6) (C_15-F_{18}) (C_1-O_3) $(C_{14}-H_{29})$ $(C_{13}-N_{12})$ $(C_2=O_{23})$ واخذ ما يقابلها من قيم الطاقة عند الزيادة والنقصان في طول الاصرة وكذلك حساب الطاقة الكلية للجزيئ عند كل تغير مع تثبيت الاصرة وذلك بجعل $opt=0$ بدلا من 1 وبالتالي نرسم المنحني ويمكن تحديد قيم طول الاصر $(C_6=C_1)$ (C_15-C_6) (C_15-F_{18}) في موضع الاتزان المطلوب وبالتالي يتم حساب الخواص الطيفية [10,11].

4. النتائج والمناقشة:

4.1 جزيئة الكومارين :C14H12NO2F3

بعد رسم الشكل التركيبي لجزئية الكومارين (C₅₂₂) بواسطة برنامج (Hyperchem8.0) الذي يعتمد اساسا على حساب المحاور الداخلية (r, θ, Φ) (Internal coordinates) هو الشكل الهندسي عند حالة الاتزان للجزئية كما في الشكل 1 وبعد حصول على احسن وضع هندسي (Optimization) نتمكن من الحصول على المصفوفة الابتدائية للجزئية كما في [الجدول 1](#) حيث يحتوي هذا الجدول على الذرات المكونة لجزئية والمسافة بين الذرات وافضل وضع لهذه الذرات (Opt) وقيم الروابط بين الاواصر وزوايا السطوح بعد ما حصلنا على المصفوفة الابتدائية وادخالها في برنامج (WinMopac7.21) نحصل على بعض الخصائص المهمة مثل الطاقة الكلية عند موضع الاستقرار وطاقة التأثر والطاقة الالكترونية وطاقة تنافر النوى وطاقة نقطة الصفر وجهد التأين والوزن الجزيئي وعدد المستويات المشغولة بالإلكترونات كما موضحة في [الجدول 2](#).



شكل 1: يمثل التركيب الجزيئي لجزيئه الكومارين C_{522} رسمت من خلال برنامج HyperChem8.0.

4.2 منحي طاقة الجهد اللاتواقي لجزيئه الكومارين C_{522} :

بعد ادخال المصفوفة الابتدائية لجزيئه في برنامج WinMopac7.21 نقوم بعملية الافضلية لجميع ذرات الجزيئه وذلك بتغيير المسافة بين $(C_2=O_{23})$ $(C_6=C_1)$ $(C_{14}-H_{29})$ $(C_{13}-N_{12})$ $(C_{15}-F_{18})$ (C_2-O_3) $(C_{15}-C_6)$ واخذ ما يقابلها من قيم الطاقة الكلية لجزيئه حيث تم رسم منحي طاقة الجهد عند مسافة الاتزان (r_e) وتم الحصول على مقدار للطاقة الكلية (عند حالة التوازن) وكانت تساوي (3915.101 eV) عند مسافة الاتزان (1.53 \AA) (1.34 \AA) وتم الحصول على (1.21 \AA) (1.37 \AA) (1.10 \AA) (1.43 \AA) (1.35 \AA) على التوالي لذلك يستمر فيها المنحني تقريبا من الاستقرار خطيا مستقيما حيث نحصل على قيم طاقات التفكك لجميع الاواصر (5.69258 eV) (2.45383 eV) (5.90738 eV) على التوالي كما في الاشكال 2-8. والجدول 3 يوضح انواع الاواصر بين الذرات وطاقة التفكك ومسافة الاتزان باستخدام برنامج WinMopac7.21.

جدول 1: يوضح المصفوفة البدائية لجزيئه الكومارين C_{522} توضح فيه ابعاد الذرات وزواياها في حالة الشكل المستقر
للجزيئه المحسوبة ببرنامج HyperChem8.0

| Atom | Distance r(A°) | Opt. | Angle(θ°) | Opt. | Dihedral(φ°) | Opt. |
|-----------------|----------------|------|-----------|------|--------------|------|
| C ₁ | 0.0000 | 0 | 0.0000 | 0 | 0.0000 | 0 |
| C ₂ | 1.4698 | 1 | 0.0000 | 0 | 0.0000 | 0 |
| O ₃ | 1.3748 | 1 | 121.2326 | 1 | 0.0000 | 0 |
| C ₄ | 1.3765 | 1 | 118.0866 | 1 | 359.7709 | 1 |
| C ₅ | 1.4094 | 1 | 123.1806 | 1 | 359.7828 | 1 |
| C ₆ | 1.3477 | 1 | 119.5040 | 1 | 0.2442 | 1 |
| C ₇ | 1.3975 | 1 | 114.9974 | 1 | 179.5742 | 1 |
| C ₈ | 1.3985 | 1 | 119.6008 | 1 | 180.2731 | 1 |
| C ₉ | 1.4166 | 1 | 119.3048 | 1 | 359.6753 | 1 |
| C ₁₀ | 1.3857 | 1 | 120.1106 | 1 | 359.9392 | 1 |
| C ₁₁ | 1.4946 | 1 | 121.4875 | 1 | 178.5359 | 1 |
| N ₁₂ | 1.4320 | 1 | 119.8044 | 1 | 184.3134 | 1 |
| C ₁₃ | 1.4895 | 1 | 116.2832 | 1 | 193.7360 | 1 |
| C ₁₄ | 1.5174 | 1 | 112.3749 | 1 | 199.9061 | 1 |
| C ₁₅ | 1.5375 | 1 | 120.0587 | 1 | 180.4836 | 1 |
| F ₁₆ | 1.3526 | 1 | 113.9819 | 1 | 241.4393 | 1 |
| F ₁₇ | 1.3531 | 1 | 114.9526 | 1 | 1.3128 | 1 |
| F ₁₈ | 1.3528 | 1 | 113.9932 | 1 | 121.0689 | 1 |
| C ₁₉ | 1.4794 | 1 | 117.3357 | 1 | 331.2162 | 1 |
| H ₂₀ | 1.0978 | 1 | 108.7568 | 1 | 160.2350 | 1 |
| H ₂₁ | 1.1019 | 1 | 110.2566 | 1 | 41.8145 | 1 |
| H ₂₂ | 1.1009 | 1 | 112.9766 | 1 | 280.6575 | 1 |
| O ₂₃ | 1.2113 | 1 | 129.5451 | 1 | 180.0227 | 1 |
| H ₂₄ | 1.1026 | 1 | 119.9188 | 1 | 0.3657 | 1 |
| H ₂₅ | 1.0975 | 1 | 116.5968 | 1 | 0.1666 | 1 |
| H ₂₆ | 1.0973 | 1 | 118.2998 | 1 | 180.5562 | 1 |
| H ₂₇ | 1.1084 | 1 | 110.1497 | 1 | 322.6512 | 1 |
| H ₂₈ | 1.1096 | 1 | 108.2269 | 1 | 77.8118 | 1 |
| H ₂₉ | 1.1083 | 1 | 110.4064 | 1 | 312.1082 | 1 |
| H ₃₀ | 1.1073 | 1 | 110.1481 | 1 | 68.4427 | 1 |
| H ₃₁ | 1.1082 | 1 | 107.2289 | 1 | 193.9937 | 1 |
| H ₃₂ | 1.1115 | 1 | 111.0715 | 1 | 77.9806 | 1 |

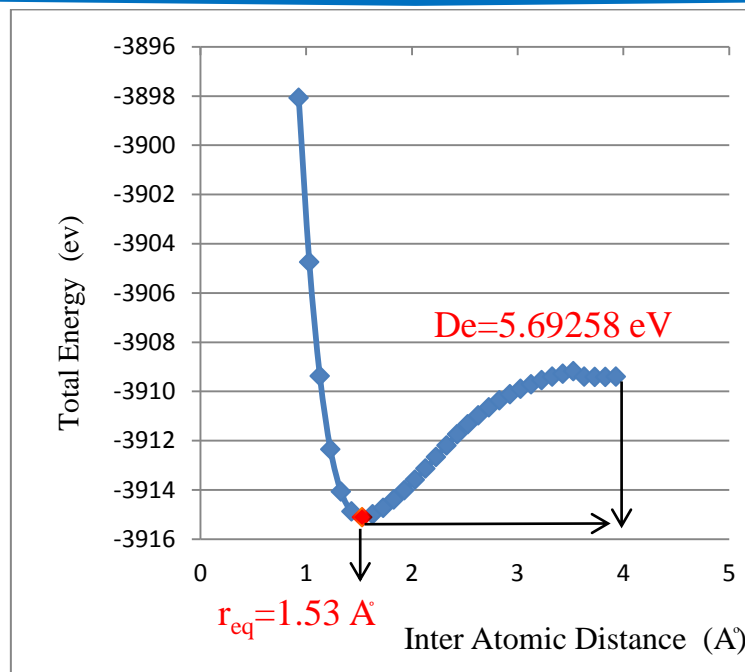
جدول 2: يمثل بعض الخصائص المهمة لجزيئه الكومارين C_{522} المحسوبة من خلال برنامج WinMopac 7.21

| وحدة القياس Unit | مقدار الكمية Magnitud | الكمية Quantity |
|------------------|-----------------------|----------------------|
| eV | -3915.10178 | Total energy |
| eV | -24125.91417 | Electronic energy |
| eV | 20210.81239 | Core-core Repulsion |
| eV | 8.80371 | Ionization potential |
| Kcal/mol | 152.165 | Zero point energy |
| Levels | 53 | No. of filled levels |
| g/mol | 283.250 | Molecular Weight |

جدول 3: يوضح نوع الاواصر بين الذرات وطاقة التفكك ومسافة الاتزان لجميع الاواصر المدروسة لجزيئه الكومارين

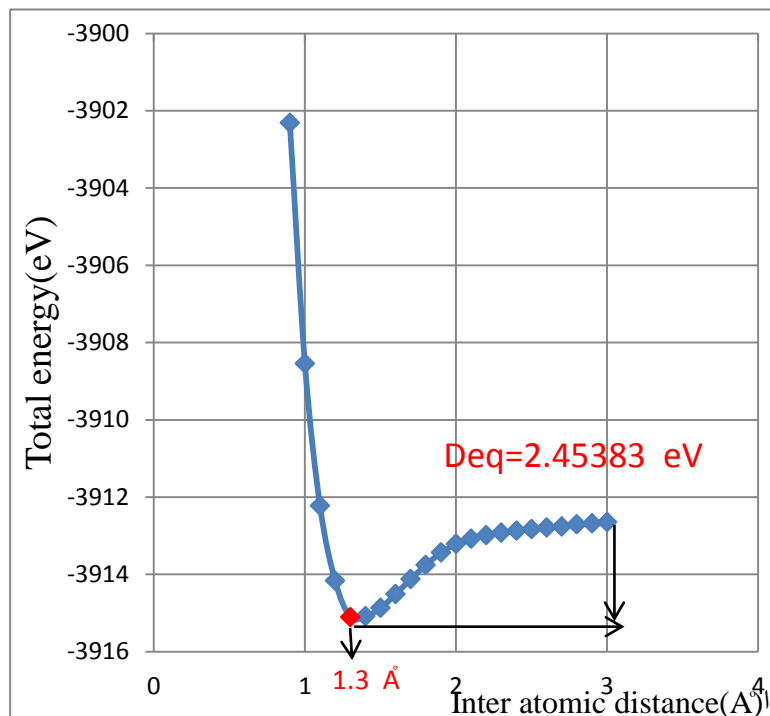
WinMopac 7.21 من خلال برنامج C_{522}

| نوع الاصارة | طاقة التفكك Deq(eV) | مسافة التوازن $r(\text{\AA})$ |
|-----------------|------------------------|----------------------------------|
| $C_{15}-C_6$ | 5.69258 | 1.5375 |
| C_2-O_3 | 2.45383 | 1.3748 |
| $C_{15}-F_{18}$ | 5.90738 | 1.3528 |
| $C_{13}-N_{12}$ | 4.41122 | 1.4320 |
| $C_{14}-H_{29}$ | 7.53396 | 1.1083 |
| $C_6=C_1$ | 7.56607 | 1.3477 |
| $C_2=O_{23}$ | 8.31946 | 1.2113 |



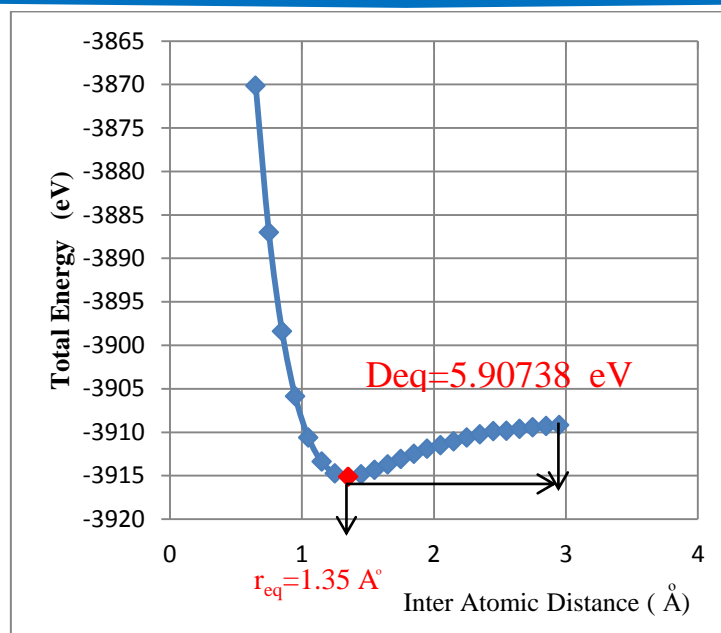
شكل 2: تغير الطاقة الكلية مع المسافة بين ذري (C₁₅—C₆) لجزئية الكومارين C₅₂₂ باستعمال برنامج

WinMopac7.21



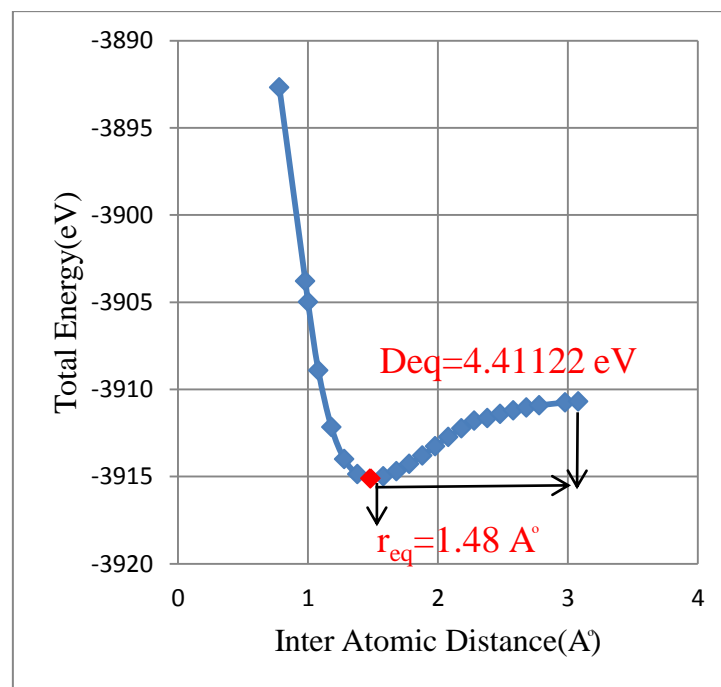
شكل 3: تغير الطاقة الكلية مع المسافة بين ذري (C₂—O₃) لجزئية الكومارين C₅₂₂ باستعمال برنامج

WinMopac7.21



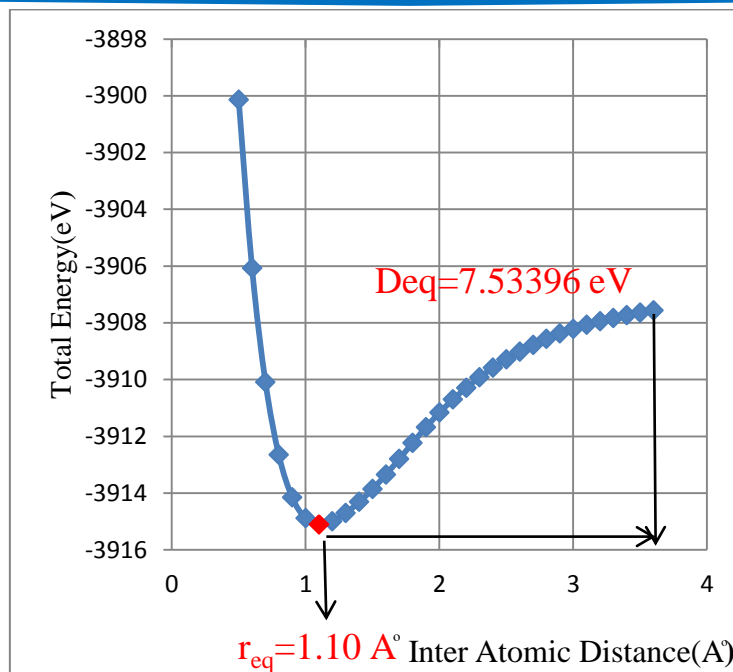
شكل 4: تغير الطاقة الكلية مع المسافة بين ذرتي (C₁₅—F₁₈) لجزيئة الكومارين C₅₂₂ باستعمال برنامج

WinMopac7.21



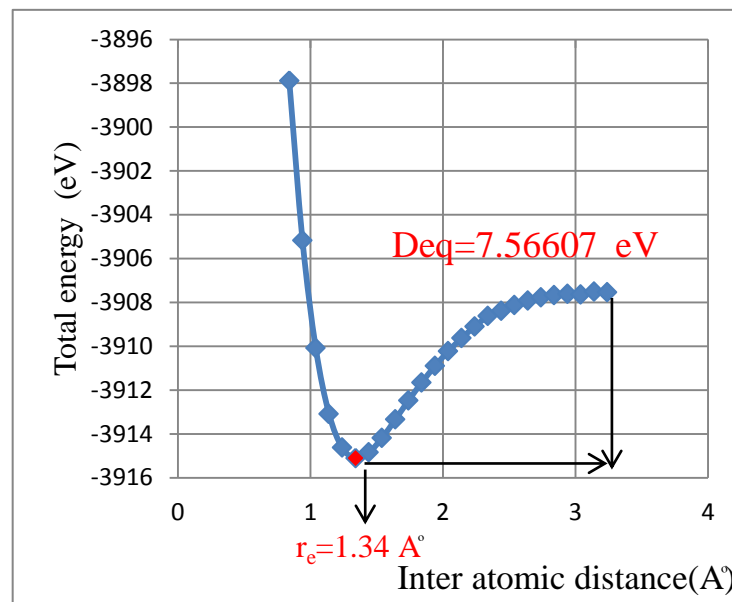
شكل 5: تغير الطاقة الكلية مع المسافة بين ذرتي (C₁₃—N₁₂) لجزيئة الكومارين C₅₂₂ باستعمال برنامج

Winmopac7.21



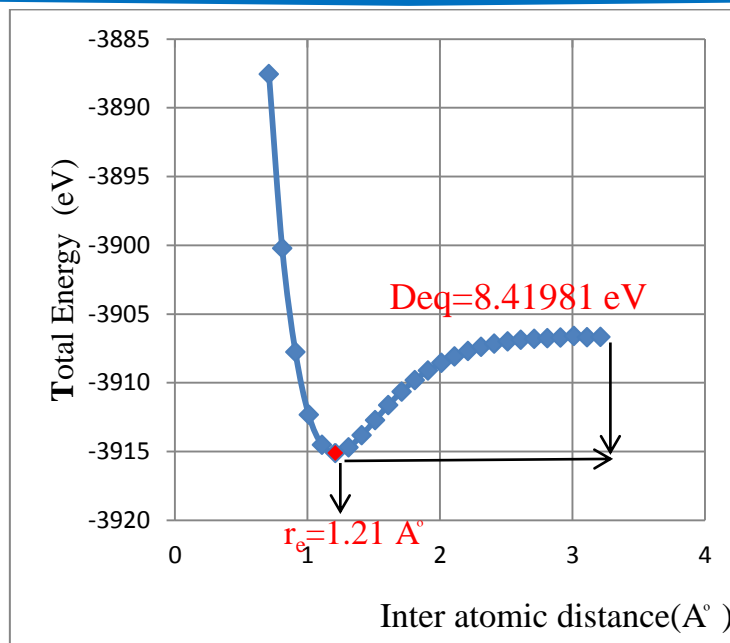
شكل 6: تغير الطاقة الكلية مع المسافة بين ذرتی (C₁₄-H₂₉) لجزئیة الكومارین C₅₂₂ التي حسبت من خلال

برنامج WinMopac7.21



شكل 7: تغير الطاقة الكلية مع المسافة بين ذرتی (C=C₆) لجزئیة الكومارین C₅₂₂ التي حسبت من برنامج

WinMopac7.21



شكل 8: تغير الطاقة الكلية للمسافة بين ذرتی ($C_2=O_{23}$) لجزئية الكومارين C_{522} التي حسبت من خلال برنامج WinMopac7.21

4.3 حساب الترددات والانماط الاهتزازية لجزئية C_{522}

تمت حساب الترددات الاهتزازية للجزئية من خلال منحني الجهد عند موضع التوازن ($r-r_e$) و **الجدول 4** يوضح المقارنة بين الحسابات النظرية والعملية [3] لكل من الترددات الاهتزازية والشدة ونوع التماثل وكذلك تم وصف انماط الاهتزازية للجزئية من خلال برنامج (Hyperchem8.0) وبما ان جزيئة الكومارين من الجزيئات الغير الخطية لذلك تم حساب (90) نمط اهتزازي للجزئية يعتمد عدد الانماط الاعتيادية على عدد ذرات الجزيئة حيث تحتوي جزيئة الكومارين 522 على 90 ذرة فإننا نتمكن من ان نشير الى موضع كل ذرة بتحديد ثلاثة احداثيات (x,y,z) أو بمعنى اخر تحويل حركة أي ذرة في الجزيئة إلى ثلاثة مركبات باتجاه الاحداثيات الثلاثة لذ تم تقسيم درجات الحرية الاهتزازية حسب القاعدة ($N-1$) من الاهتزازات التمددية وعدها (31) وما تبقى من درجات الحرية يكون للاهتزازات الانحنائية وعدها (59) حسب القاعدة ($3N-5$) لجزئيات الغير الخطية **والشكل 9** يوضح بعض الانماط الاهتزازية.

جدول 4: يوضح مقارنة بين قيم ترددات اهتزاز جزيئه الكومارين C₅₂₂ المحسوبة بالبرنامج (WinMopac7.21) والقيم العملية[3]، (HyperChem8.0).

| No vibration | WinMopac7.21 | Hyperchem8.0 | | | | Wave number (cm ⁻¹) by Cal[3] |
|--------------|--------------------------------|--------------------------------|--------------------|----------|--------------------|---|
| | Wave number(cm ⁻¹) | Wave number(cm ⁻¹) | Intensity (km/mol) | Symmetry | Modes of Vibration | |
| 1 | 31.3 | 31.41 | 0.10117 | 1A | Stretching | |
| 2 | 51.21 | 51.49 | 0.03673 | 2A | Stretching | |
| 3 | 66.22 | 66.53 | 0.13529 | 3A | Stretching | |
| 4 | 82.29 | 81.85 | 0.20900 | 4A | Bending | |
| 5 | 115.73 | 115.23 | 2.12116 | 5A | Stretching | |
| 6 | 125.46 | 125.39 | 0.28855 | 6A | Stretching | |
| 7 | 146.46 | 146.81 | 0.57627 | 7A | Bending | |
| 8 | 160.66 | 160.50 | 2.04288 | 8A | Stretching | |
| 9 | 190.82 | 190.07 | 1.69424 | 9A | Bending | |
| 10 | 226.63 | 226.54 | 0.94842 | 10A | Bending | |
| 11 | 234.95 | 235.03 | 0.20250 | 11A | Bending | |
| 12 | 282.50 | 282.19 | 0.63092 | 12A | Stretching | |
| 13 | 284.74 | 284.69 | 2.23705 | 13A | Bending | |
| 14 | 306.73 | 306.67 | 0.98465 | 14A | Bending | |
| 15 | 318.38 | 318.53 | 10.42807 | 15A | Bending | |
| 16 | 379.11 | 379.03 | 0.63104 | 16A | Bending | |
| 17 | 393.38 | 393.14 | 0.59606 | 17A | Bending | |
| 18 | 398.78 | 398.62 | 4.44120 | 18A | Bending | |
| 19 | 440.29 | 440.01 | 4.1502 | 19A | Stretching | |
| 20 | 469.95 | 469.90 | 1.08492 | 20A | Bending | |
| 21 | 484.32 | 484.24 | 5.44453 | 21A | Bending | |
| 22 | 495.77 | 495.69 | 1.87715 | 22A | Bending | |
| 23 | 500.32 | 500.16 | 2.87996 | 23A | Bending | |
| 24 | 521.57 | 521.56 | 0.51106 | 24A | Bending | |
| 25 | 558.58 | 558.52 | 0.75577 | 25A | Bending | |
| 26 | 595.20 | 595.21 | 0.23161 | 26A | Bending | |
| 27 | 623.56 | 623.07 | 0.22600 | 27A | Stretching | |
| 28 | 646.40 | 646.16 | 9.68130 | 28A | Stretching | |
| 29 | 651.86 | 651.73 | 18.64257 | 29A | Bending | |
| 30 | 685.90 | 685.83 | 13.08350 | 30A | Bending | |
| 31 | 721.56 | 721.53 | 1.33780 | 31A | Bending | |
| 32 | 757.07 | 756.92 | 3.48278 | 32A | Bending | |
| 33 | 762.54 | 762.31 | 0.17642 | 33A | Stretching | |



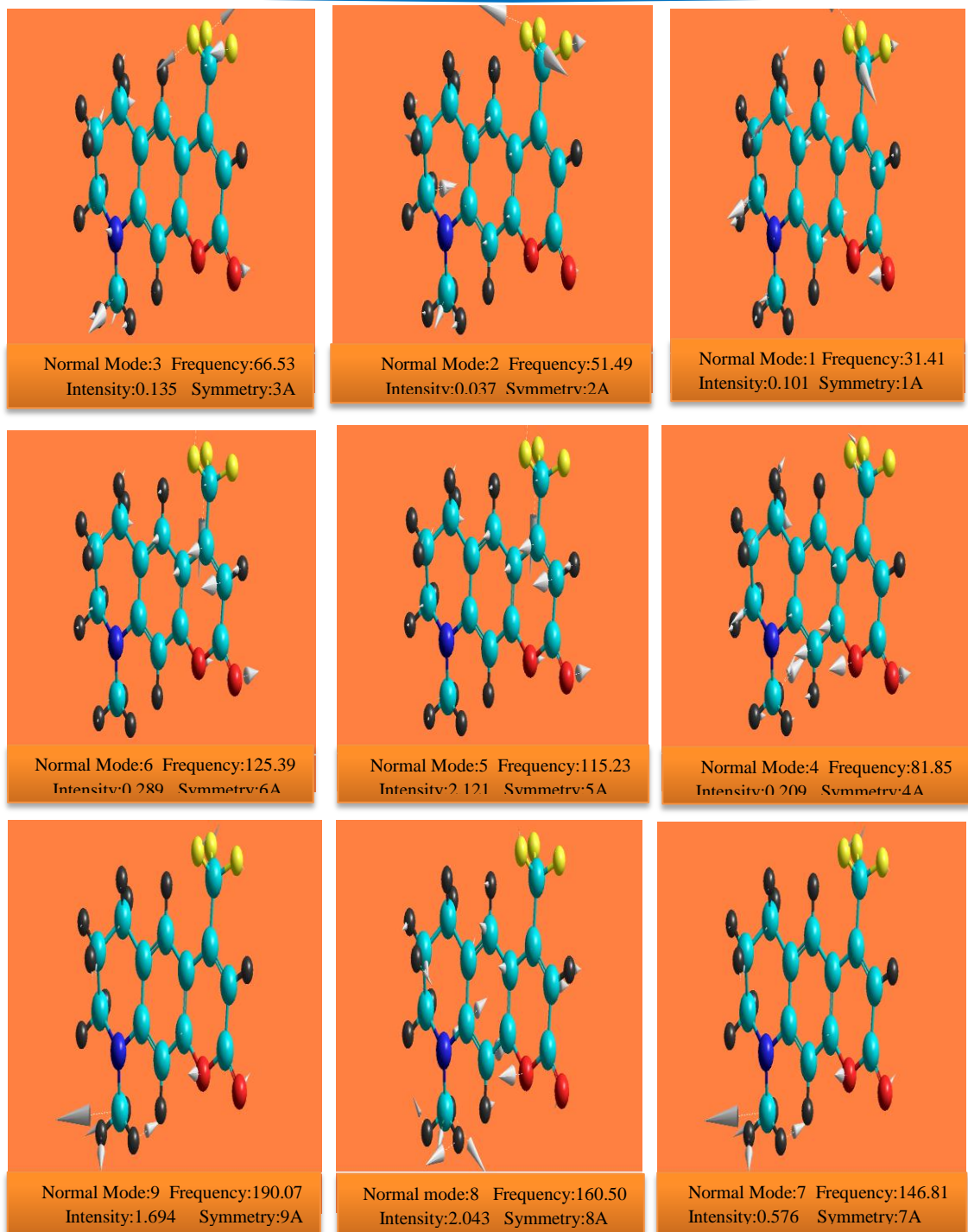
| | | | | | | |
|----|---------|---------|-----------|-----|------------|---------|
| 34 | 808.08 | 808.09 | 2.46034 | 34A | Bending | |
| 35 | 872.06 | 871.87 | 0.29246 | 35A | Bending | |
| 36 | 888.59 | 888.49 | 2.28950 | 36A | Bending | |
| 37 | 905.88 | 905.87 | 1.78351 | 37A | Bending | |
| 38 | 929.87 | 929.27 | 31.61675 | 38A | Stretching | |
| 39 | 938.55 | 938.09 | 6.49605 | 39A | Bending | |
| 40 | 949.88 | 949.52 | 9.08701 | 40A | Bending | |
| 41 | 962.64 | 962.40 | 2.14629 | 41A | Bending | |
| 42 | 992.71 | 992.58 | 9.37895 | 42A | Bending | |
| 43 | 1008.18 | 1008.11 | 2.96055 | 43A | Bending | |
| 44 | 1021.38 | 1021.29 | 2.27285 | 44A | Bending | |
| 45 | 1049.14 | 1048.94 | 5.41126 | 45A | Bending | |
| 46 | 1059.58 | 1059.41 | 13.26274 | 46A | Stretching | |
| 47 | 1073.59 | 1073.43 | 13.35350 | 47A | Bending | |
| 48 | 1094.52 | 1094.32 | 1.55795 | 48A | Bending | 1108.92 |
| 49 | 1128.89 | 1128.83 | 4.22081 | 49A | Bending | 1121.02 |
| 50 | 1140.42 | 1140.47 | 0.55192 | 50A | Stretching | |
| 51 | 1150.01 | 1149.86 | 0.85984 | 51A | Stretching | |
| 52 | 1181.24 | 1181.22 | 11.42088 | 52A | Bending | |
| 53 | 1224.30 | 1224.19 | 4.65006 | 53A | Bending | |
| 54 | 1240.42 | 1240.37 | 2.77006 | 54A | Bending | |
| 55 | 1297.16 | 1297.19 | 20.71521 | 55A | Bending | |
| 56 | 1305.71 | 1305.64 | 0.60447 | 56A | Stretching | |
| 57 | 1313.99 | 1313.90 | 4.0047 | 57A | Bending | |
| 58 | 1346.27 | 1346.04 | 5.77171 | 58A | Bending | |
| 59 | 1349.48 | 1349.24 | 3.57609 | 59A | Bending | |
| 60 | 1364.48 | 1364.22 | 10.23443 | 60A | Bending | |
| 61 | 1371.45 | 1371.25 | 1.00729 | 61A | Stretching | |
| 62 | 1372.24 | 1372.12 | 5.67636 | 62A | Bending | |
| 63 | 1379.33 | 1379.23 | 0.15009 | 63A | Bending | |
| 64 | 1390.78 | 1390.54 | 27.30010 | 64A | Bending | |
| 65 | 1401.14 | 1400.98 | 4.29052 | 65A | Bending | |
| 66 | 1411.78 | 1411.50 | 94.23519 | 66A | Stretching | |
| 67 | 1415.87 | 1415.76 | 1.38827 | 67A | Stretching | 1421.64 |
| 68 | 1449.84 | 1449.56 | 54.35761 | 68A | Bending | 1439.32 |
| 69 | 1474.07 | 1473.99 | 9.81440 | 69A | Bending | |
| 70 | 1533.66 | 1533.39 | 154.49879 | 70A | Stretching | |
| 71 | 1533.66 | 1538.43 | 82.77372 | 71A | Stretching | |
| 72 | 1550.19 | 1550.06 | 12.24952 | 72A | Bending | |
| 73 | 1608.00 | 1607.76 | 28.85908 | 73A | Bending | |
| 74 | 1644.98 | 1644.63 | 10.85908 | 74A | Bending | |
| 75 | 1746.03 | 1745.63 | 64.89873 | 75A | Stretching | 1746.34 |
| 76 | 1795.87 | 1795.57 | 200.49519 | 76A | Stretching | |



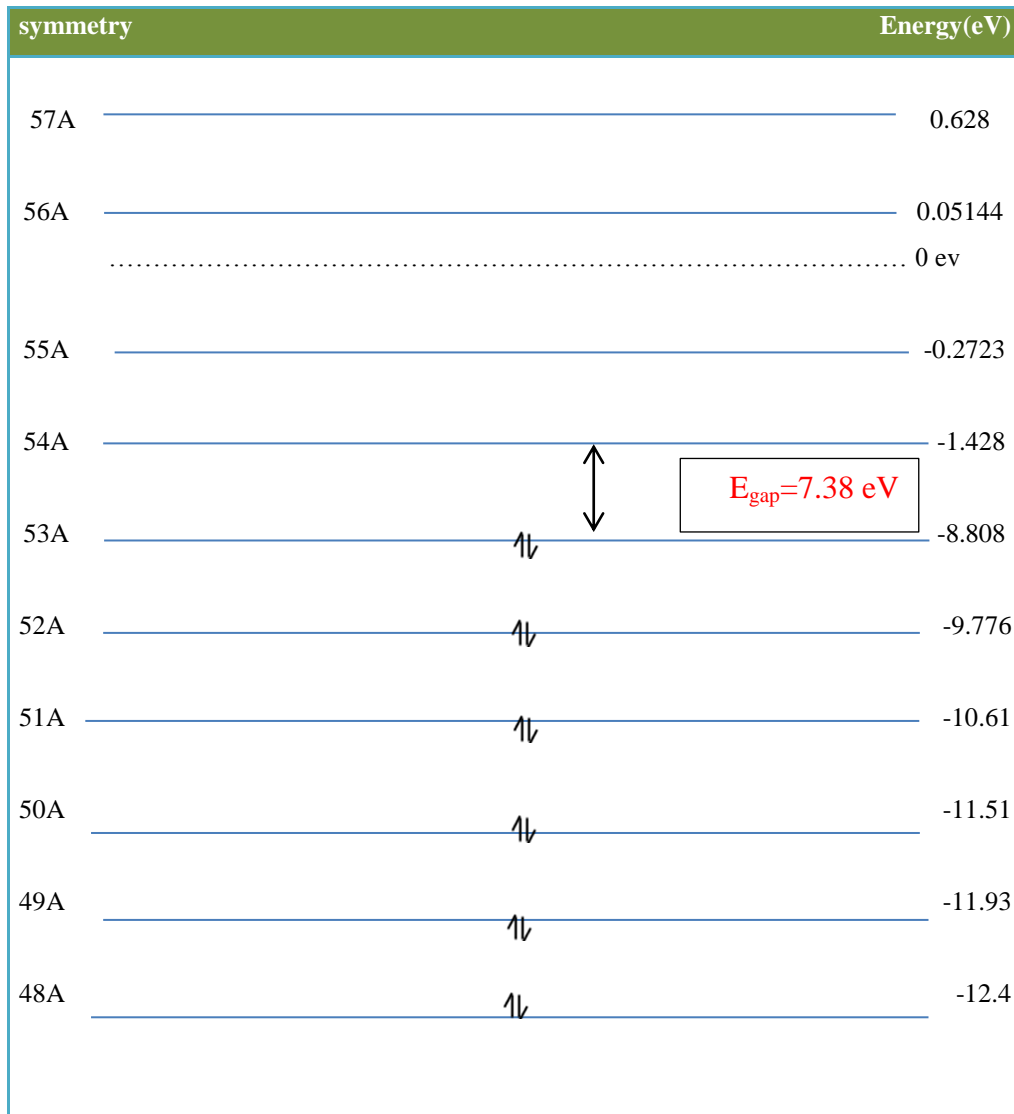
| | | | | | | |
|----|---------|---------|-----------|-----|------------|---------|
| 77 | 1844.20 | 1844.08 | 19.56564 | 77A | Stretching | |
| 78 | 2001.66 | 2001.47 | 243.78819 | 78A | Stretching | |
| 79 | 2916.51 | 2916.35 | 0.23145 | 79A | Stretching | |
| 80 | 2942.36 | 2941.78 | 0.14334 | 80A | Bending | |
| 81 | 2966.63 | 2966.14 | 0.71078 | 81A | Bending | |
| 82 | 2991.93 | 2991.62 | 0.74275 | 82A | Stretching | |
| 83 | 3014.82 | 3014.04 | 19.90187 | 83A | Bending | |
| 84 | 3023.82 | 3023.09 | 0.80127 | 84A | Bending | |
| 85 | 3032.64 | 3031.94 | 0.61403 | 85A | Bending | |
| 86 | 3042.57 | 3042.18 | 11.11874 | 86A | Stretching | |
| 87 | 3045.61 | 3045.04 | 1.31750 | 87A | Stretching | |
| 88 | 3047.76 | 3047.15 | 0.66011 | 88A | Stretching | |
| 89 | 3052.97 | 3052.31 | 42.78479 | 89A | Stretching | 3057.52 |
| 90 | 3123.75 | 3123.00 | 0.67855 | 90A | bending | 3125.02 |

4.4 القيم الذاتية الطافية للمدارات لجزيئه C_{522}

تم الحصول على المدارات الجزيئية والقيمة الطافية لكل مدار وتماثل كل مستوى لجزيئه الكومارين C_{522} وكان عدد المدارات المشغولة بالإلكترونات (53) مدار و (39) مدار غير مشغول بالإلكترونات ومن ثم حسبت طاقة أعلى مدار جزيئي مشغول (E_{HOMO}) وكذلك طاقة أدنى مدار جزيئي غير مشغول (E_{LUMO}) وبعد حساب القيم الذاتية الطافية للمدارات الجزيئية تم الحصول على فجوة الطاقة حيث كانت تساوي (7.38 eV) كما في **الشكل 10**.



شكل 9: يوضح بعض الانماط الاهتزازية لجزيئه الكومارين C_{522} وتم حساب التردد بوحدة cm^{-1} والشدة بوحدة km/mol والتماثل لكل نمط مرسوم من خلال برنامج .HyperChem8.0



شكل 10: يوضح قيم المستويات الطاقية لجزئية الكومارين C_{522} توضح اعلى مدار جزيئي مشغول E_{HOMO} واوطى مدار

غير مشغول E_{LUMO} وتماثل كل مدار المحسوبة من خلال البرنامج HyperChem8.0

5. الاستنتاجات:

من خلال دراسة الخصائص الطيفية لجزئية الكومارين C_{522} وبواسطة البرامج الشبة تجريبية وبطريقة MNDO-PM3 وجد:

- ان الطاقة الكلية للاوامر ثابتة هي -3915.10 eV .

2. تحتوي جزيئه الكومارين C_{522} على 106 الكترون و 92 مدار منها 53 مدار مشغول بالإلكترونات و 39 غير مشغول بالإلكترونات.

3. ان هناك علاقه عكسيه بين طول الاصره والطاقة الازمه لتقاك الذرات فعند المقارنه بين $C_{15}-C_6=C_1$ نلاحظ ان الاصره بين $C_1=C_6$ انها تحتاج الى طاقة عاليه لكسر الاصره اما الاصره بين $C_{15}-C_6$ فأنها على العكس تحتاج الى طاقة قليله لكسر الاصره.

4. عند المقارنه بين مط الاصره $C_{14}-H_{29}$ مع C_2-O_3 نجد ان الترددات الناتجه عن الاخير اكبر و ذلك كون كتل الذرات المهتره اصغر حيث ان التردد يتناسب مع الكتله استنادا للعلاقه $v_{vib}=\frac{1}{2\pi}\sqrt{\frac{k}{\mu}}$ اما مط الاصره $C-O$ فأنها تعطي اعلى شده لأنها تشمل تغير في قطبيه الجزيئه.

5. المنطقة $1000-2000)cm^{-1}$ هي المنطقة الخاصه بمط الاصره (C—F) بإضافة الى الاصره (C—N) حيث تبلغ قيمة (1128.83)(1439.32) على التوالي وهذا مقارب للنتائج المقاسه [3].

المصادر

- [1] F. P. Schafer, "**Dye Laser**", Topics in Applied physics, 2nd Ed., Springer, Berlin (1977).
- [2] P. J. Sedastian and K. Sathianandan, "**Dye Laser**", Optics. Communication., 32(3), 422 (1980).
- [3] رجاء قادر الياري، " دراسة الخواص الالكترونية والخواص الطيفية لجزيئات الكومارين ومشتقاتها "، مجلة كربلاء العلمية، 1(14)، (2016).
- [4] خالد عبدالله جاسم، عصام احمد محمود، "الفيزياء الجزيئية" ، دار الكتب للطباعة والنشر، جامعة الموصل (1992).
- [5] P. Atkins and R. Friedman, "**molecular quantum Mechanics**", 4th Ed., University of Oxford (2005).



- [6] P. F. Bernath," *Molecular Spectroscopy and Structure*", Departments of Chemistry and Physics , University of Waterloo , Ontario, Canada N2L3GL,(1990).
- [7] R. Leach Andrew ,,"*Molecular Modeling principles and Application*",2nd Ed., prenticeHall, London, (2001).
- [8] D. B. Cook," *Hand Book of computational quantum chemistry*", Oxford University, press, New York, (1990).
- [9] N. Allinger ,," *Computational chemistry Manual for Hyperchem program Part 2:theory and Method ;chapter 12(Quantum Mechanic)*", P.244, (1996).
- [10] J. Baker." *An Algorithm for the location transition states*", Journal of Computational chemistry, 7, 385 (1986).
- [11] James J.B.stuart ,," *Aided Molecular Design*", Journal of Computer, 1(105),4 (1990).